

مطالعه دگرسانی، ترکیب کانی‌شناسی و خصوصیات فیزیکوشیمیایی خاک صنعتی یانیق (جنوب غرب هشتروود) با هدف بررسی کاربردهای صنعتی آن

سایه رضازاده

کارشناسی ارشد زمین‌شناسی اقتصادی، گروه زمین‌شناسی، دانشکده علوم طبیعی، دانشگاه تبریز

محمد رضا حسین‌زاده

عضو هیأت علمی گروه زمین‌شناسی، دانشکده علوم طبیعی، دانشگاه تبریز

محسن مؤید

عضو هیأت علمی گروه زمین‌شناسی، دانشکده علوم طبیعی، دانشگاه تبریز

تاریخ دریافت: ۹۲/۱/۲۹

تاریخ پذیرش: ۹۲/۴/۲

saye_rezazade@yahoo.com

چکیده

منطقه مورد مطالعه در ۲۷ کیلومتری جنوب غرب شهرستان هشتروود و در اطراف روستای یانیق قرار گرفته است. این ناحیه بخشی از زون ساختاری البرز‌غربی- آذربایجان را تشکیل می‌دهد. در محدوده مورد مطالعه، دگرسانی آرژیلیک نسبتاً شدید در سنگ‌های آتشفسانی با ترکیب آندزیت- آندزیت بازالتی به سن پلیوسن منجر به تشکیل کانی‌های رسی شده است. براساس مطالعات انجام شده محلول گرمایی دگرسان کننده در محدوده مورد مطالعه، دما پایین و دارای منشاً سوپرژن می‌باشد. کانی‌های اصلی نهشته معدنی شامل کوارتز، کلریت، آلبیت، ایلیت، مونت‌موریونیت، کاولینیت و تالک است. بررسی‌های شیمیایی نشان می‌دهد که نمونه‌های برداشت شده از منطقه دارای میانگین ۱۷/۸۱ درصد اکسید آلومینیوم، ۵۲/۲ درصد اکسید سدیم و ۴/۸ درصد اکسید پتاسیم می‌باشد. با توجه به ویژگی‌های فنی خاک صنعتی یانیق، برای صنایع کاشی‌سازی کاربرد دارد.

کلمات کلیدی: دگرسانی آرژیلیک، محلول گرمایی، کانی‌شناسی، خاک صنعتی، یانیق.

مقدمه

می‌کند (شکل ۱). قدیمی‌ترین سنگ‌های رخمنون یافته در منطقه متعلق به دوران سنوزوئیک هستند. رخمنون‌های اصلی سنگ‌ها در محدوده مورد مطالعه که تحت تأثیر دگرسانی شدید قرار گرفته‌اند شامل انواع سنگ‌های آتشفسانی و آذرآواری میوسن و پلیوسن می‌باشند. واحدهای سنگی در منطقه مورد مطالعه به شرح ذیل می‌باشند (رضایی و فتویی، ۱۳۸۸).

M_2^{ms} : این واحد شامل تناوبی از مارن‌های صورتی متمایل به قرمز و سبز گچ‌دار و ماسه سنگ‌هایی سرخ تا خاکستری همراه با لایه‌هایی از سنگ آهک‌های آواری است. نهشته‌های میوسن در اثر عملکرد فاز آستیرین چین خورده و روند محور چین‌ها شمال غرب - جنوب شرق می‌باشد. در مارن‌های رنگارنگ، لایه‌هایی از گچ (زیپس) نازک لایه نیز تشکیل شده است.

M_2^{cs} : این واحد به طور عمده در شمال شرق نقشه مورد مطالعه گسترش دارد (شکل ۲) و از نظر سنگ‌شناسی شامل ماسه سنگ توفی سرخ و خاکستری و به مقدار کم کنگلومرا در قسمت پایین است. در بخش‌های بالایی ضخامت کنگلومرا زیاد می‌شود. جنس قطعات کنگلومرا بیشتر آتشفسانی بوده و علاوه بر آن قلوه‌هایی از سنگ آهک‌های ریفی میوسن زیرین نیز در آن دیده می‌شود.

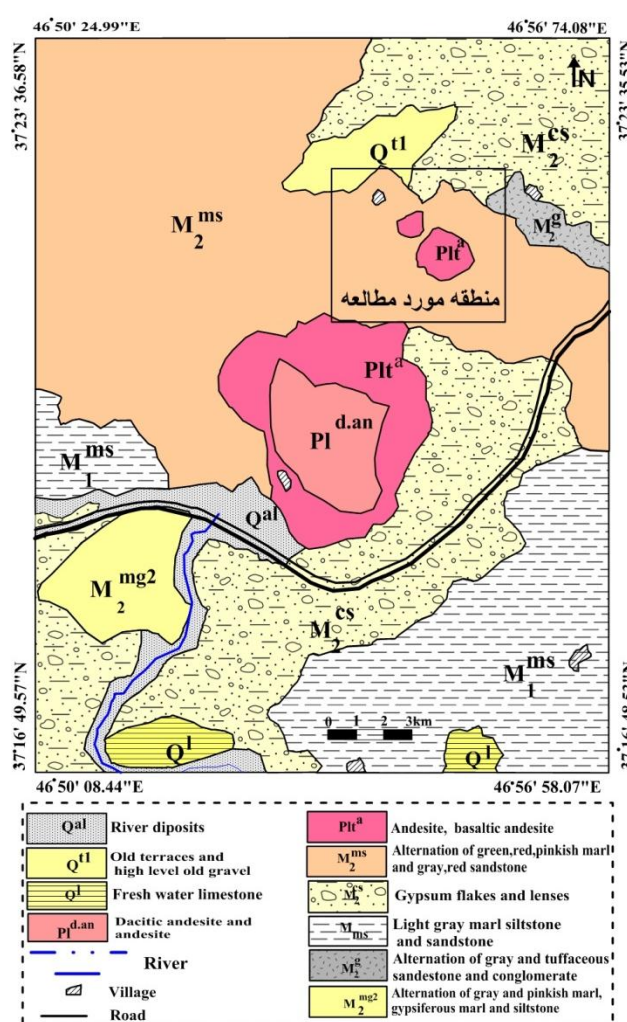
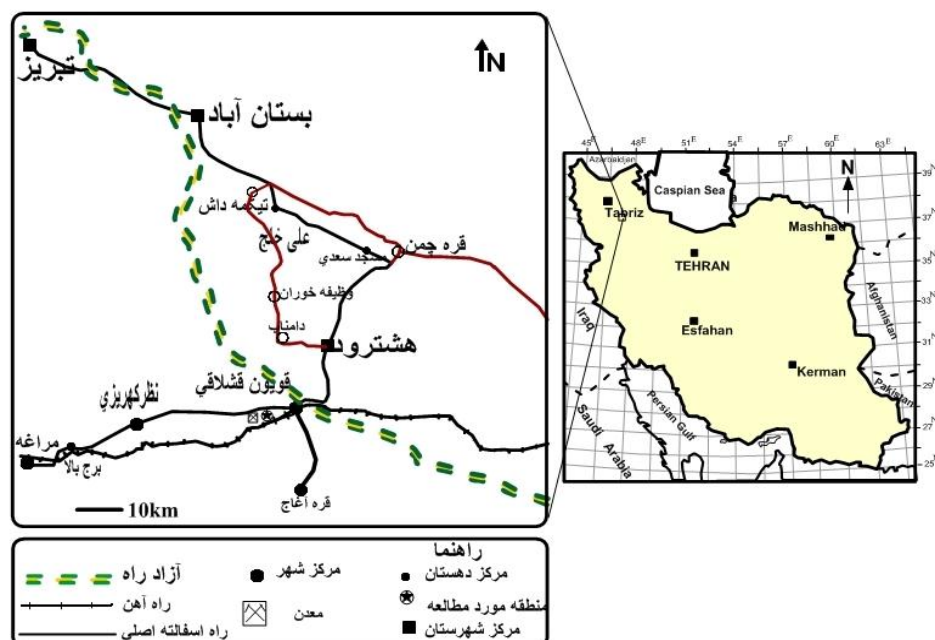
Plt^a : این واحد بیشتر به رنگ قهوه‌ای و بنفش دیده می‌شود و شامل گندلهای نیمه آتشفسانی با ترکیب سنگ‌شناسی آندزیت- آندزیت بازالتی می‌باشد (شکل ۲).

کانی‌های صنعتی زیادی تاکنون تحت عنوان خاک‌های صنعتی به کار گرفته شده‌اند. اساس تقسیم‌بندی خاک‌های صنعتی در کشورها بسته به کاربردشان متفاوت است، اما در یک مورد مشترک هستند و آن این است که عمدۀ خاک‌های صنعتی در گروه انواع رسی قرار می‌گیرند. فراوانی کانی‌های رسی در طبیعت و تغییرات ترکیب شیمیایی آنها با توجه به شرایط فیزیکوشیمیایی و حضور یون‌های مختلف فلزی، تغییرات و جانشینی آنها گردیده است که این کانی‌ها دارای انواع خصوصیات از جمله عکس العمل نسبت به افزایش درجه حرارت، واکنش با ترکیبات آلی و غیرآلی، خاصیت پوششی خوب و ظرفیت جذب... گردد.

با توجه به این خصوصیات کانی‌های رسی در صنایع مختلف به صورت گستردۀ به عنوان ماده اصلی به کار می‌روند. صنایع مصرف کننده این کانی‌ها شامل صنایع آجرنسوز، سرامیک، ظروف چینی، کاغذسازی، گل حفاری، رنگ سازی، صنایع داروئی و ... است. در محدوده‌یانیق دگرسانی آرژیلیک نسبتاً شدید منجر به تشکیل کانی‌های رسی شده است که در این مقاله به بررسی دگرسانی در منطقه، ویژگی‌های کانی‌شناسی و ژئوشیمیایی و کاربردهای صنعتی خاک صنعتی حاصل از آن پرداخته شده است.

زمین‌شناسی منطقه

منطقه مورد مطالعه در استان آذربایجان شرقی و حدود ۲۷ کیلومتری جنوب غرب هشتروود، در اراضی روستای یانیق و در مختصات طول‌های جغرافیایی "۴۶°، ۵۰'، ۲۴/۹۹" تا "۴۶°، ۵۶'، ۵۸/۷" و عرض‌های جغرافیایی "۱۶°، ۲۳'، ۳۷°، ۴۷/۰۵" تا "۱۶°، ۴۸/۵۳" واقع شده است. از نظر دسترسی به منطقه، راه آسفالته هشتروود- مراغه از داخل محدوده عبور



شکل ۲. نقشه زمین‌شناسی محدوده مورد مطالعه

روش کار

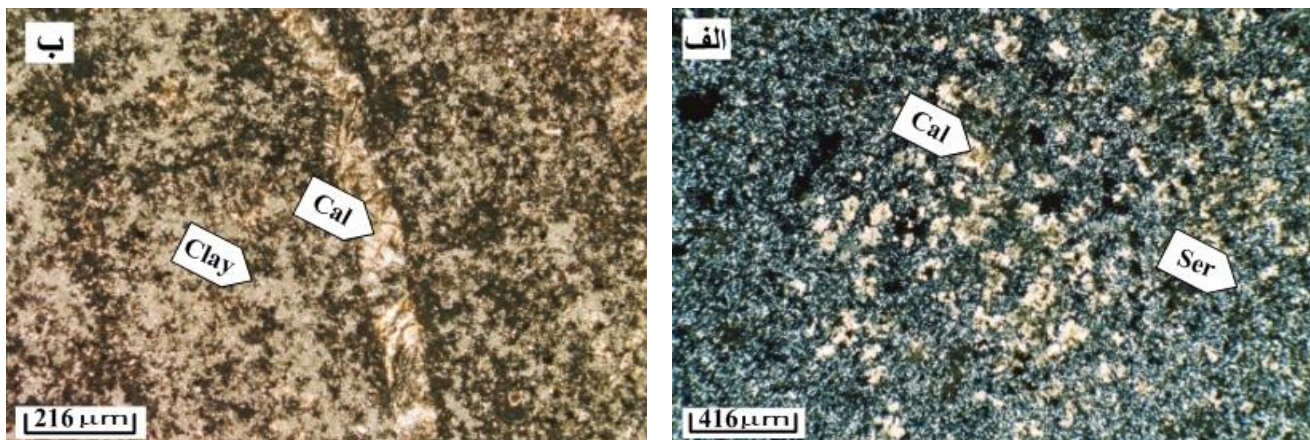
از آنجا که کانی های مهم تشکیل دهنده خاک صنعتی انواع کانی های رسی بوده و نوع و مقدار آنها عامل تعیین کننده ای در ارائه ویژگی های فی خاک می باشد، بدین منظور پمایش های صحرایی، شناسایی واحد های سنگی، نمونه برداری بصورت سیستماتیک از بخش دگرسان انجام گردید. موقعیت نمونه ها بر روی تصویر ماهواره ای google earth در (شکل ۳) مشاهده می شود. از نمونه های دگرسان برداشت شده، مقاطع نازک تهیه و مورد بررسی قرار گرفت. برای بررسی کانی شناسی تعداد ۵ نمونه در آزمایشگاه کانسaran بینالود به روش پراش پرتو ایکس (XRD) مورد تجزیه قرار گرفت و به منظور مطالعات ژئوشیمیایی تعداد ۷ نمونه (R₁₃, R₁, R_{10a}, R_{10b}, R_{11b}, R_{14b}, R₁₅) برای آزمایشگاه ACME کانادا ارسال شد. لازم به ذکر است از هر نمونه حدود ۲۰۰ گرم (بصورت نمونه سنگی) به آزمایشگاه ارسال گردید و مراحل آماده سازی در همانجا انجام شده است. همچنین بر روی ۳ نمونه از خاک صنعتی منطقه در آزمایشگاه کارخانجات معتبر از جمله کاشی نیلو، اصفهان و کاشی تبریز آزمون های سرامیکی صورت گرفت.

بحث و بررسی
دگرسانی

در محدوده مورد مطالعه واکنش متقابل محلول های گرمابی با سنگ میزبان (سنگ های آتشفسانی پلیوسن) سبب ایجاد دگرسانی از نوع آرژیلیک شده است. از نظر شیمیایی دگرسانی آرژیلیک در شرایط اسیدیته نسبتاً بالا و حضور حجم زیاد آب در سنگ های غنی از آلومینیوم در محیط رخ می دهد (Titley and Bean, 1981). براساس مطالعات پتروگرافی صورت گرفته بر روی سنگ های سالم و دگرسان، کانی های اصلی شامل بلازوبلاکلار، هورنبلند و پپروکسن بوده و بافت ساب افیتیک و میکرولیتی پورفیریک در آنها غالب است. در نمونه های با دگرسانی اثاری از کانی های اولیه باقی نمانده، سریسیت ریز دانه، کانی های رسی و کلسیت تشکیل شده است (شکل ۴). رخمنون این دگرسانی اغلب به صورت محدوده هایی به رنگ سفید تا زرد در منطقه قابل مشاهده است (شکل ۵). این تغییر رنگ در نتیجه توسعه هیدرومیکاها، کائولینیت و شستشوی اکسیدهای آهن می باشد. براساس نتایج آنالیز XRD نمونه های دگرسان وجود کانی های رسی ایلیت، کائولینیت و مونتموریونیت تأیید شده است (جدول ۱). اگر درصدی از مواد قلیانی توسط محلول گرمابی در طی فرایند دگرسانی خارج شود کانی های ایلیت و مونتموریونیت تشکیل می شود (ذبیحی و همکاران، ۱۳۹۰). در دیاگرام (Cuney et al., 1989) که براساس میزان سدیم و پتاسیم موجود در سنگ در طی دگرسانی ترسیم شده است محدوده دگرسانی آرژیلیک بخش پایین دیاگرام را در بر گرفته که مقدار K+Na برای نمونه های با دگرسانی آرژیلیک پیشرفته بین ۰ تا ۲ درصد، برای دگرسانی آرژیلیک حد واسطه بین ۲ تا ۴ درصد و دگرسانی آرژیلیک ضعیف بین ۴ تا ۶ درصد می باشد (پیروان و امینی، ۱۳۸۴). با این تفاسیر در این نمودار نمونه های مورد مطالعه در محدوده دگرسانی آرژیلیک حد واسطه قرار گرفته است (شکل ۶). همچنین با توجه به مطالعات کانی شناسی در محدوده مورد مطالعه کانی های شاخص دگرسانی آرژیلیک پیشرفته مانند آلونیت، پیروفیلیت و دیکیت تشخیص داده نشده است. با توجه به تبادلات عنصری انجام گرفته در طی فرایند دگرسانی که با تهی شدگی یا غنی شدگی در سنگ ها همراه بوده است و نتایج آنالیز XRD می توان دمای محلول دگرسانی را تعیین کرد. در این بررسی از تغییرات جرم عناصر با قدرت میدان بالا (HFSE) که به روش محاسبه جرم مکلین (Maclean, 1990) تعیین شده است استفاده گردید که بر مبنای عنصر ناظر



شکل ۳. تصویر ماهواره ای از موقعیت نمونه های برداشت شده از منطقه



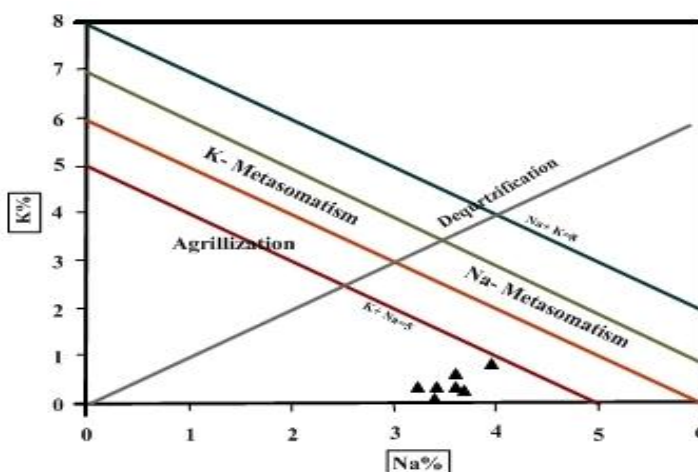
شکل ۴. تصاویر میکروسکوپی نمونه‌های شدیداً دگرسان (نورپردازی XPL). الف و ب) کلسیت و کانی‌های رسی حاصل از تجزیه کانی‌های اولیه (Cal: کلسیت، Clay: کانی‌های رسی).



شکل ۵. تصاویری از دگرسانی آرژیلیک موجود در منطقه مورد مطالعه

جدول ۱. ترکیب کانی‌شناسی نمونه‌های مورد مطالعه

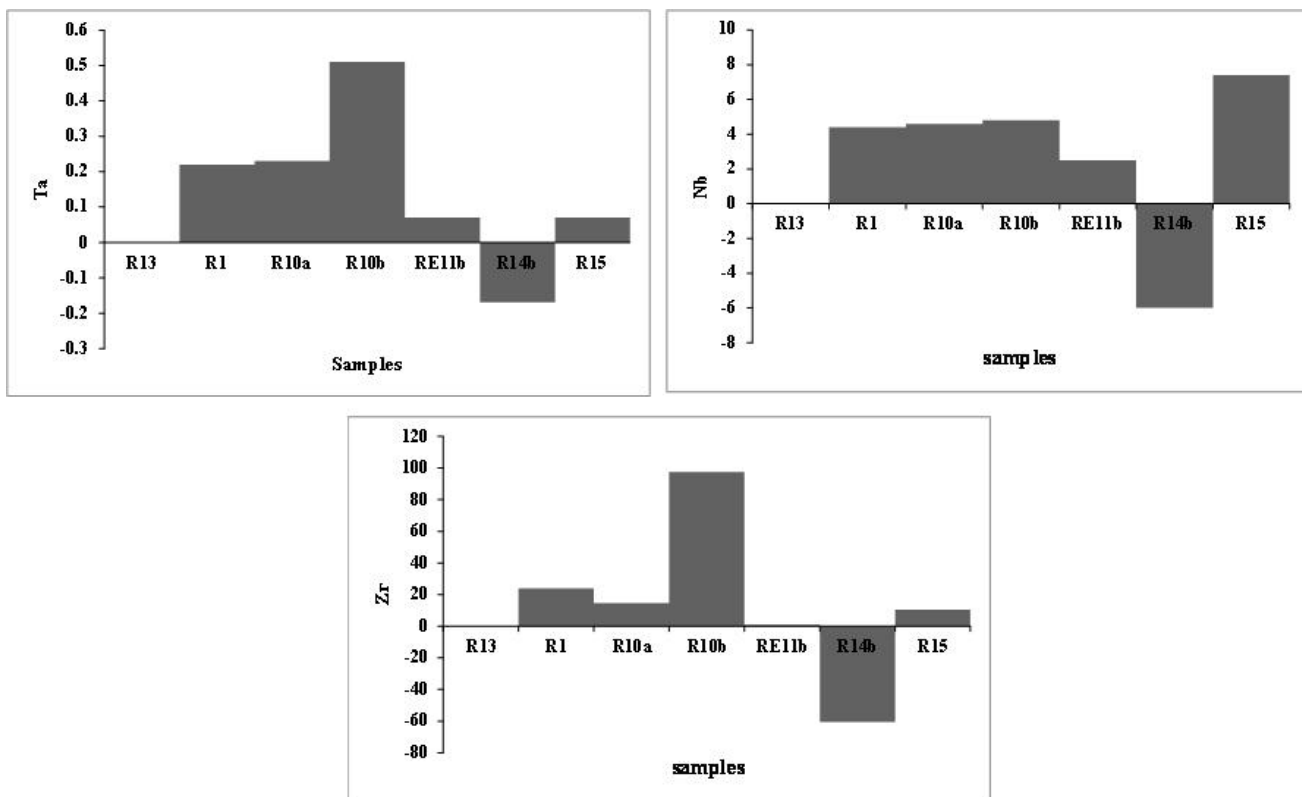
شماره نمونه	کانی‌های اصلی	کانی‌های فرعی
R _{4c}	کلریت، کوارتز	کلسیت، تالک، اورتوز
R _{10b}	آلبیت، کلسیت، تالک، کواتز، مونتموریونیت	-----
KN ₁₂	کوارتز	ژیپس، ایلیت، کلریت، کائولینیت
KN-SA	کائولینیت، کوارتز، آلبیت، ایلیت	تالک، کلسیت، مونتموریونیت
KN ₁₁	کوارتز، کلریت	ژیپس، ایلیت



شکل ۶. موقعیت نمونه‌های منطقه مورد مطالعه در دیاگرام Na-K (Cuney et al., 1989)

جدول ۲. تغییرات جرم عناصر HFSE نمونه‌های منطقه مورد مطالعه

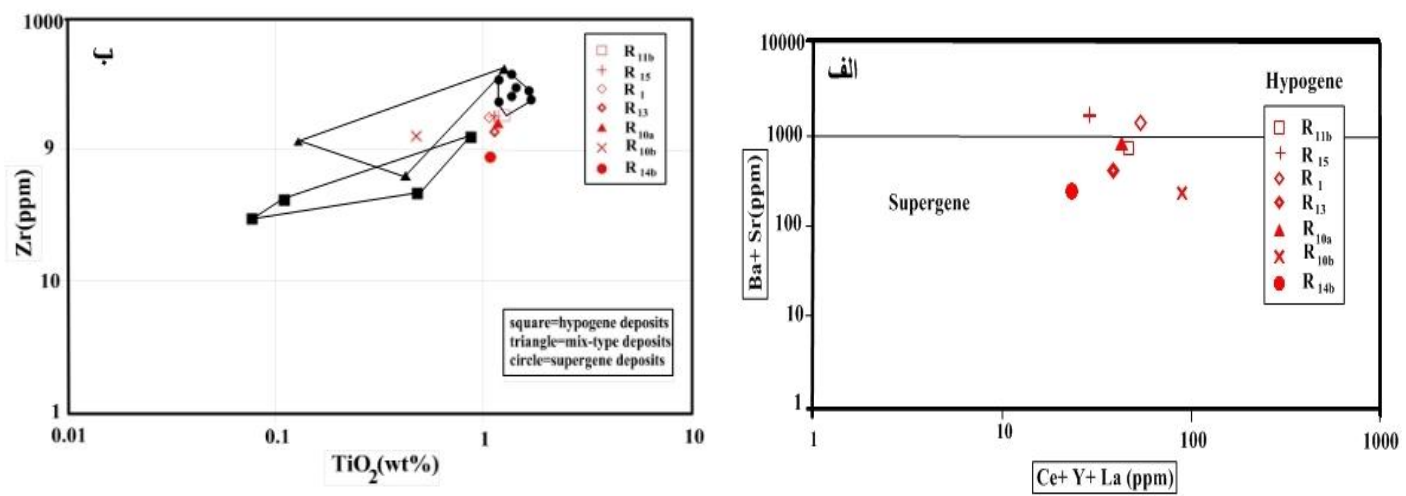
نمونه	R ₁₃	R ₁	R _{10a}	R _{10b}	R _{11b}	R _{14b}	R ₁₅
Elements(M.C.)							
Nb	.	۴/۴۸	۴/۶۱	۴/۲۸	۲/۵۷	-۷/۱۱	۷/۴۱
Ta	.	۰/۲۲	۰/۲۳	۰/۵۱	۰/۰۷	-۰/۲۳	۰/۰۷
Zr	.	۲۳/۹۳	۱۴/۷۸	۹۷/۵۴	۰/۸۳	-۶۵/۶۰	۱۰/۵۱



شکل ۷. نمودار تغییرات جرم عناصر HFSE در نمونه‌های مورد مطالعه

جدول ۳. نتایج آنالیز (ICP-MS) نمونه‌های برداشت شده از منطقه

نمونه	نسبتاً سالم	دگرسان					شدیداً دگرسان
نمونه	R ₁₃	R ₁	R _{10a}	R _{14b}	R _{10b}	R _{11b}	R ₁₅
Major elements(%)							
SiO ₂	50/6	53/4	53/8	49/7	52	51/9	54/4
Al ₂ O ₃	16/8	17/8	17/7	19/1	16	18/1	19/2
Fe ₂ O ₃	6/0 7	6/13	5/62	5/11	4/23	7/19	5/98
Na ₂ O	4/4	5	4/9	4/6	4/6	5	5/4
K ₂ O	0/31	0/35	0/69	0/2	0/35	0/32	1/0 1
MnO	0/0 4	0/0 5	0/0 2	0/0 6	0/0 1	0/0 2	0/0 3
MgO	7/13	4/8	5/91	4/37	6/14	5/7	3/95
TiO ₂	1/19	1/15	1/14	1/65	0/72	1/23	1/23
element(ppm)							
Ba	160	400	340	120	30	310	420
Zr	123	142	132	79/5	139	128	138
Dy	5/18	3/79	2/95	4/13	4/18	3/44	2/19
Gd	4/99	3/81	2/4	3/7	4/91	3/56	2/26
Ho	1/0 3	0/75	0/62	0/86	0/84	0/68	0/45
Lu	0/41	0/32	0/25	0/32	0/39	0/28	0/2
La	12/2	20/7	18/2	7/1	21/2	17/7	15/3
Ce	29/2	41/2	38/1	15/9	56/4	38	29/8
Y	26/4	19/8	15/9	22/1	22/8	18/4	12/4
Eu	1/0 5	1/2	1/0 9	1/18	0/9	1/14	0/73
Tb	0/18	0/61	0/51	0/65	0/74	0/55	0/36
Sr	560	660	600	330	350	610	880

شکل ۸. موقعیت نمونه‌ها در دیاگرام تفکیکی هیپوژن-سوپرژن: (الف) (Ce+Y+La) / (Ba+Sr) در برابر TiO₂ و (ب) Zr در برابر

بررسی خواص کانی‌شناسی

کانی‌های پتاسیم‌دار هستند که نتایج آنالیز XRD آنها را به عنوان کانی‌های تشکیل دهنده ماده معنده نشان داده است. مقدار میانگین اکسید آهن در نمونه‌ها ۵/۶ درصد است. اکسید آهن باعث ایجاد رنگ زرد تا قرمز و کاهش نقطه ذوب می‌شود که می‌تواند به دلیل حضور کلریت و هماتیت در ماده معنده باشد. میزان مواد فرار (LOI) در نمونه‌های محدوده مطالعه پایین است. بالا بودن میزان LOI باعث ایجاد تخلخل در فراوردهای سرامیکی می‌شود. در ضمن درجه بالای نسوزندگی به دلیل حضور یون منیزیم در ساختار کانی‌های رسی از جمله کلریت استفاده از این ماده معنده را در ساخت آجرهای نسوزامکان‌پذیر ساخته است.

کاربرد صنعتی ماده معنده

چگونگی تعیین کاربرد مواد معنده غیرفلزی در صنایع نیازمند یک رشته آزمایش‌ها است. این آزمایش‌ها بر روی سه نمونه از خاک صنعتی منطقه مورد نظر انجام گرفت و ویژگی‌های صنعتی مانند درجه قرمزی، درجه سبزی و زردی، میزان انقباض بعد از پخت، انبساط بعد از پرس، ویسکوزیته و چگالی به روش‌های استاندارد مورد ارزیابی قرار گرفتند و نتایج در (جدول ۴) آرائه شده است. مهمترین عاملی که بر روی رنگ پخت سرامیک تأثیر می‌گذارد، ترکیب شیمیایی ماده معنده و ناخالصی‌های همراه آن است. درجه سفیدی نمونه‌های مورد مطالعه بیشتر از درجه قرمزی و درجه سبزی و زردی می‌باشد.

مقاومت خشک به صورت استحکام مواد بعد از شکل‌گیری و خشک شدن و قبل از پخت تعريف می‌شود. بالا بودن میزان سیلیس در مواد اولیه باعث افزایش مقاومت خشک می‌گردد (گرجستانی، ۱۳۸۴). طبق (جدول ۴) میانگین مقاومت خشک در نمونه‌های محدوده یانیق $37/2 \text{ kg/cm}^2$ می‌باشد. انقباض رطوبتی (شیرینگ کیج) عبارت از انقباض و کاهش حجم ذرات رسی آبدار بعد از حرارت و پخت است هرقدر کاهش حجم بیشتر باشد بیانگر درجه خلوص بیشتر کانی‌های رسی است و هر قدر میزان انقباض بیشتر باشد درصد خلال و فرج و جذب آب کمتر می‌شود (Benea and Gorea, 2004). میانگین انقباض رطوبتی (شیرینگ کیج) در نمونه‌های منطقه ۴ می‌باشد. به طورکلی با توجه به نتایج آزمایشات در آزمایشگاه‌های کارخانجات معتبر، خاک صنعتی محدوده معنده یانیق هشتود مورد تأیید برای استفاده در صنعت کاشی کف و کاشی بدنه است. میزان مرغوبیت ماده معنده نسبت به عمق و ارتفاع در منطقه تغییرات محسوسی نشان می‌دهد و بنا به درخواست مصرف کنندگان به صورت انتخابی و درجه‌بندی شده برداشت می‌شود.

نتیجه‌گیری

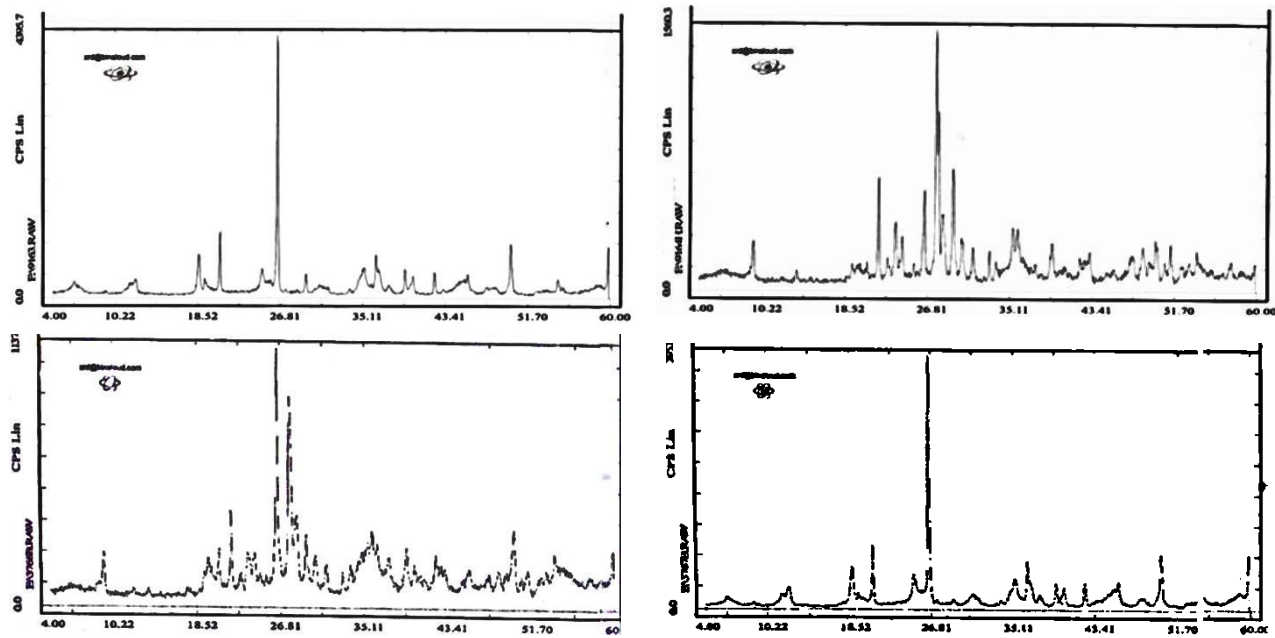
کانی‌سازی خاک صنعتی محدوده یانیق در اثر دگرسانی آرژیلیک نسبتاً شدید بر سنگ‌های آندزیتی-آندزیتی بازالتی موجود در منطقه تشکیل شده است. کانی‌های کوارتز، کلریت، آلیت، ایلیت، مونتموریونیت، کائولینیت و تالک ترکیب کانی‌شناسی اصلی ماده معنده مورد بررسی را تشکیل می‌دهد. طبق نتایج آنالیز XRD و بررسی تغییرات عناصر HFSE دمای دگرسانی در محدوده مورد مطالعه پایین بوده است. مطالعات نشان‌دهنده نقش اصلی فرایندهای سوپرژن و تأثیر جزئی فرایندهای هیپروژن در گسترش دگرسانی در منطقه می‌باشد. براساس بررسی ترکیب شیمیایی نمونه‌ها میزان اکسید سیلیسیم بالا بوده و می‌تواند باعث زبری بالای فراوردهای سرامیکی این ماده معنده شود. ویژگی‌های ترکیب شیمیایی ماده معنده و خواص فیزیک‌مکانیکی اندازه‌گیری شده نشان می‌دهد که خاک صنعتی محدوده یانیق جهت استفاده در کاشی بدنه، کاشی کف و آجر نسوز به لحاظ ویژگی‌های فنی بسیار مطلوب می‌باشد.

با توجه به نتایج آنالیز XRD کوارتز، کلریت، آلیت، ایلیت، مونت-موریونیت، کائولینیت و تالک مهمترین ترکیب کانی‌شناسی سنگ‌های منطقه را تشکیل می‌دهند. از کانی‌های فرعی می‌توان به کلسیت، ژپس، اورتوز و مسکوکیوت اشاره کرد. (جدول ۱) ترکیب کانی‌شناسی و (شکل ۹) چند نمودار حاصل از پراش پرتو ایکس نمونه‌های مورد مطالعه در این ناحیه را نشان می‌دهد. در نتایج آنالیز XRD تمامی نمونه‌ها، کوارتز کانی اصلی بوده است. این کانی باعث ایجاد پیوندی محکم در بدنه‌های سرامیکی می‌شود و نیز زبری و شفافیت آنرا افزایش می‌دهد (اعتمادی و ظرفینیا، ۱۳۹۰؛ صانع، ۱۳۸۴). سیلیس حاصل از دگرسانی و انحلال کانی‌های سیلیکاته سنگ‌های حدواسط و اسیدی، همراه سیلیس گرمایی می‌تواند کوارتز فراوانی را به وجود آورد که این سیلیس در تشکیل کانی‌های رسی شرکت داشته باشد (ذیبحی و همکاران، ۱۳۹۰). حضور مونتموریونیت باعث افزایش مومسانی ماده معنده مورد استفاده می‌شود و از طرف دیگر وجود آهن در ساختار آن روی رنگ پس از پخت تأثیر می‌گذارد (Singer, 1967). کانی ایلیت به دلیل دارا بودن اکسید پتاسیم به عنوان ماده گدازآور در بدنه سرامیک است (ذیبحی و همکاران، ۱۳۹۰). وجود تالک در ماده معنده باعث ایجاد مقاومت در برابر شوک حرارتی، بهتر کردن کیفیت سطح بدنه محصولات سرامیکی می‌شود. حضور ژپس به احتمال زیاد به این دلیل است که سیال گرمایی حاوی یون سولفات و احدهای سنگی آتشفسانی موجود در منطقه را تحت تأثیر قرار داده و کلسیم از سنگ مادر آزاد و سبب تشکیل این کانی به مقدار جزئی شده است. وجود مقدار زیاد این کانی باعث چسبندگی بالا و ترک خوردن فراورده‌های سرامیکی می‌شود و باید از ماده معنده حذف شود (Deer et al., 1983).

بررسی خواص شیمیایی

اکسیدهای اصلی موجود در ماده معنده بر کیفیت ماده خام و فراورده‌های سرامیکی تولید شده از آن نقش دارد. ترکیب شیمیایی نمونه‌های مورد مطالعه به روش طیف‌ستج جرمی پلاسمای جفت شده القایی (ICP-MS) مورد بررسی قرار گرفت که در (جدول ۳) مقدار اکسیدهای اصلی عناصر نشان داده شده است. میانگین SiO_2 در نمونه‌ها ۵۲/۲ درصد است که مؤید حضور کوارتز به عنوان کانی اصلی در نمونه‌ها می‌باشد. در ضمن عنصر Si در محيط دگرسانی نسبت به سایر عناصر از تحرك و جابجایی کمتری برخوردار بوده و با شستشوی سایر عناصر طی دگرسانی، می‌توان شاهد افزایش نسبی این عنصر بود (Karakaya, 2009). میانگین Al_2O_3 در نمونه‌ها ۱۷/۸۱ درصد است و در نمونه‌های شدیداً دگرسان نسبت به نمونه‌های سالم میزان آلومینیا افزایش نشان می‌دهد. با افزایش اکسید آلومینیوم میزان مقاومت فیزیکی و شیمیایی محصول سرامیکی در برابر ضربه، گرمایش و کشش افزایش می‌یابد (رحمی و متین، ۱۳۸۵).

میانگین اکسید سدیم نمونه‌ها ۴/۸ درصد است. افزایش اکسید سدیم باعث کاهش چسبندگی، افزایش گرانزوی و تغییر شکل در فراورده‌های سرامیکی می‌شود بنابراین وجود بیش از حد آن جزء فاکتورهای مضر به شمار می‌رود (ذیبحی و همکاران، ۱۳۹۰). این میزان اکسید سدیم از تجزیه سدیم فلذیات‌های سنگ‌های حدواسط موجود در طی فرایند دگرسانی حاصل شده است. شناسایی کانی آلیت نیز تأییدی بر حضور اکسید سدیم در ترکیب شیمیایی این پتانسیل معنده می‌باشد. میانگین اکسید پتاسیم نمونه‌ها ۰/۴۶ درصد است. اکسید پتاسیم گدازآور بوده و ماده‌ای مفید در بدنه‌های سرامیکی است و میزان جذب آب محصول تولید شده را به حداقل می‌رساند (گنجی و تاک، ۱۳۸۷). کانی‌های رسی نیز می‌توانند نقش ارزنده‌ای در ثبت پتاسیم در سیستم داشته باشند (Mutakyahwa et al., 2000).



شکل ۹. تصاویر XRD نمونه از پیک‌های محدوده یانیق

جدول ۴. نتایج آزمون‌های صنعتی انجام شده بر روی نمونه‌های خاک صنعتی محدوده یانیق

ردیف	شماره نمونه	درجه سفیدی	درجه قرمزی	درجه سبزی و زردی	میزان انبساط بعد از پرس	مقواط خشک بعد از پرس	میزان انقباض بعد از بخت	مواد فرار چگالی	ویسکوزیته	دما پخت	مقدار درصد رسانس
L	A	B	Exp	dbs	Shk	L.O.I	d	V	T°C	STTP	
۱	۹۱/۱۹	۳/۱۹	۱۱/۵	۰/۸	۳۳	۲/۲	۸/۵	۱/۴۵	۶۰	۱۱۹۵	%۰/۵
۲	۷۹/۳۷	۴/۶۴	۱۱/۹۵	۱/۱	۵۰/۸۹	۴/۶	۱۰/۶	۱/۴۵۲	۶۰	۱۱۹۵	%۰/۶
۳	۹۲/۳	۴/۷۳	۱۰/۶۲	۰/۹	۲۸	۴/۲	۹/۱	۱/۳۷	۴۰	۱۲۰۰	%۰/۴

منابع

- اعتمادی ب., ظرفنیام, ۱۳۹۰, بررسی خواص فیزیکوشیمیایی و کانی‌شناسی کائولن معدن قازانداغی تاکستان در تولید کاشی و انواع دیگر سرامیک‌های صنعتی، مجله بلورشناسی و کانی‌شناسی ایران, شماره ۳, ص ۳۶۳-۳۷۰.
- پیروان‌حر., امینی‌ص., ۱۳۸۴, رده‌بندی کانی‌شناسی و ژئوشیمیایی سنگ‌های دگرسانی منطقه طارم, نهمین همایش زمین‌شناسی ایران, دانشگاه تربیت معلم تهران.
- ذبیحی‌ر., ابراهیمی‌خ., زرین‌کوب‌م.ح., ۱۳۹۰, بررسی‌های کانی‌شناسی و ژئوشیمیایی نهشته‌ی کانی رس کائولینیتی شده‌ی شیخ‌آباد (جنوب غرب بیرون‌جند) با نگرشی بر کاربردهای صنعتی آن, مجله بلورشناسی و کانی‌شناسی ایران, شماره ۱, ص ۱۰۳-۱۱۲.
- رحیمی‌ا., متین‌م., ۱۳۸۵, تکنولوژی سرامیک‌های ظرفی، چاپ دوم، تهران شرکت سهامی انتشار, ۵۷۲ ص.
- رضایی‌ح., فنودی‌م., ۱۳۸۱, نقشه زمین‌شناسی ۱:۱۰۰۰۰۰ قره آغاج، سازمان زمین‌شناسی و اکتشافات معدنی کشور.
- صانع‌خ., ۱۳۸۴, فن‌آوری تولید کاشی‌های سرامیکی، شیراز، انتشارات نوید شیراز, ۵۰۴ ص.
- گرجستانی‌س., ۱۳۸۴, صفت و سرامیک، انتشارات جاودان خرد, ص ۱۱۲-۲۱۳.
- گنجی‌ع., تاکی‌س., ۱۳۸۷, مطالعه ترکیب شیمیایی، کانی‌شناسی و خصوصیات فیزیکی خاک صنعتی بوئین زهرا (واقع در استان قزوین) با هدف بررسی کاربرد آن در صنایع کاشی و سرامیک، فصلنامه تخصصی زمین و منابع, شماره ۱, ص ۹۱-۱۰۱.

Benea.M., Gorea.M., 2004, Mineralogy and technological properties of some kaolin types used in ceramic industry, Studia universitatis Babes-Bolyai, Geologia, Vol: XLIX, P:33-39.

Cuney.M., Lerory.J., Valdiviezo.P.A., Daziano.C., Gamba.M., Zarco.A.J., Morello.O., Ninci. C., Molina.P., 1989, Geochemistry of the uranium mineralized Achala granitic complex, Argentina: Comparison with hercynian of peraluminous leucogranites of Western Europe, In Metallogensis of Uranium deposits [M], IAEA-Tc-542/16, Vienna, p:211-232.

- Deer.W.A., Howie.R.A., Zussman.J., 1983, An introduction to the rock-forming minerals, Longmans, Vol:1A, p:528.
- Dill.H.G., Bosse.H.R., Kassbohm.J., 2000, Mineralogical and chemical studies of volcanic- related Argillaceous Industrial Minerals of Central American Cordillera (Western Elsalvador), Economic Geology, Vol: 95, p:517-538.
- Karakaya.N., 2009, REE and HFSE element behavior in the alteration facies of Erenler Dagi Volcanics (Konya, Turkey) and kaolin occurrence, Journal Geochemical Exploration, Vol:101, p:185-208.
- Maiza.P.J., Pieroni.D., Marfile.S.A., 2003, Geochemistry of hydrothermal kaolin in the SE area of Los Menvcos, Province of Rlonegro, Argentina, In:Dominguez.E.A., Mas.G.R., Cravero.F. (Eds.) 2001, A Clay Odyssey Elsevier, Amsterdam, p:123-130.
- Maclean.W.H., 1990, Mass change calculation in altered rock Series, Mineralium Deposita, Vol: 25, p:44-49.
- Mutakyahwa.M.K.D., Ikingura.J.R., Mruima.A.H., 2000, Geology and geochemistry of bauxite deposits in Lushoto district, Usambara Vill Marie, Quebe, Canada, Geochimica et Cosmochimica Acta, Vol:64, p: 2199-2220.
- Salvi.S., Williams Jones.A.E., 1996, The role of hydrothermal processes in concentrating high fied strength elements in the Strange Lake peralkaline complex, north eastern Canada, Geochim. Cosmochim. Acta, Vol: 60, p: 1917-1932.
- Singer.F., 1967, Industrial ceramics, Chapman and Hiltod London, p:14-31.
- Titley.S.R., Bean.R.E., 1981, Porphyry copper deposits, part1.Geologic settings, petrology and tectonogenesis Economic Geology, I5th Anniversary Volume, p:214- 235.